

北海道大学大学院 学生員 ○佐々木成人  
 北海道大学工学部 正員 板倉忠興  
 北海道大学工学部 正員 岸 力

**概説** 著者らは第2回免状第2回年次講演会<sup>1), 2)</sup>において砂堆河床波上における乱れの測定結果について述べた。平坦床上とは異なり、河床波上の乱れは砂堆直下流の再付着点付近から発生する大規模な乱れ(burst 和 boil)によって特徴づけられる。今回は特に乱れの鉛直方向成分の横断分布に着目して解析を行った。

実験装置は前報<sup>1), 2)</sup>と同一であり、幅10cmの水路 $l = d_{50} = 0.42\text{ mm}$  の砂を敷きつめ、 $Q = 2.0 \text{ l/sec}$ 、 $L = 3.2 \times 10^{-3}$ 、 $\bar{h} = 5.88\text{ cm}$  の河床波(平均波長 $L = 30\text{ cm}$ 、波高 $\Delta = 1.5\text{ cm}$ )が充分発達した状態でこれを固定したものである。測定の配置は図-1のようであり①、②はburst した流体が通過する経路上、③はその影響が小さく平板上の乱れに近いと思われる位置である。測定にはhot-film流速計を用い、1組のX型プローブを水路中心線上に固定し、他の1組を横断方向に搬動させて同時計測を行った。河床波上の大規模なbursting は主として再付着点付近から発生するが、染料による流れの可視化観察の結果によれば、このbursting は3次元性をもち、横断方向に強度や周期が一定ではなくなる分布を成すことが認められた。

### 1. 結果の概要

河床波上の乱れに対し次のようにVITA法を適用して解析を行った。流速の鉛直方向成分 $v_z$ の原変動からzero-up-cross法により変動の周期を求める。この周期は対数正規分布を成すが、これらの平均周期を等分された部分集合に対する式で分散 $\widehat{\text{var}}(z, t, T)$ を求める。

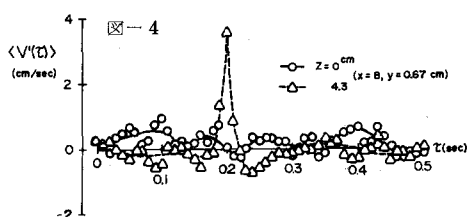
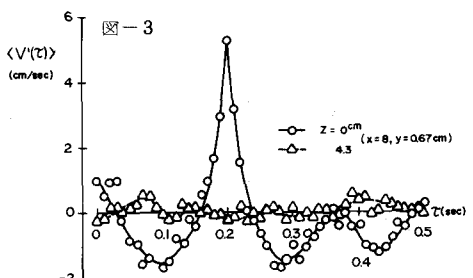
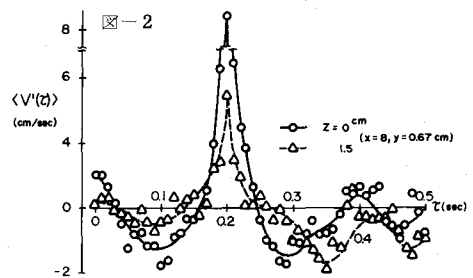
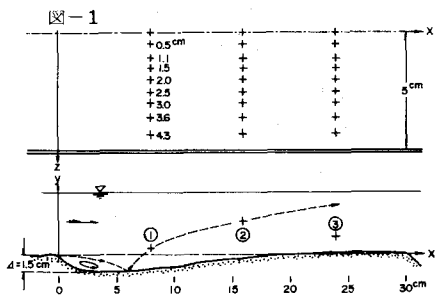
$$\widehat{\text{var}}(z, t, T) = \widehat{v_z^2}(z, t, T) - [\widehat{v_z}(z, t, T)]^2$$

ただし今の場合 $\widehat{v_z}(z, t, T) = 0$ である。つまり

$$D(t) = \begin{cases} 1 & \widehat{\text{var}} > k \cdot \sqrt{\text{var}} \\ 0 & \text{その他} \end{cases} \quad \text{を定義する。}$$

これは現象検出の「しおり」である。部分集合のvarの分布はすべての測定において対数確率紙上で折れ曲った直線ないしは2本の直線となる。このことは全体が性質の異なる2つの乱れによって構成されていることを示し、また、2つの直線が交差する点は丁度全資料の分散 $\widehat{v_z^2}$ に等しいことから $k = 1.0^{(3)}$ とした。

図-2, 3 にVITAの例を示す。これらは計算に際しては、水路中心線上( $z=0$ )の区間最大値を同時に一致させている。図から河床波上のbursting では平板上とは異なり $\beta_0 = 1 \sim 1.3$ ( $z=1.5 \sim 2\text{ cm}$ )までの領域で水路中央と非常に強い相関を有していることが判る。図-4 はこれらとは逆に側方の変動を基



準としてその最大値の時刻を一致させたものであり、側方の変動に明瞭なピークが見られる。以上のことが河床流上では、中央付近から発生するburstingと側方から上昇する流体塊とが重ねて存在し横断方向に連続した流体塊によるものとは考えにくい。図-5は中心及び側方の $\phi$ の相互相関係数の一例であり、これからも $\Delta z = 0 \sim 1.5 \text{ cm}$ 付近までは非常に高い相間を示すがそれより側方では殆んど有意な相間が見られない。図-6は $\bar{V}^2$ 、図-7はburstingの平均周期 $T_B$ の横断方向の分布であり、平均量についても上述の結果が認められる。

図-8は検出されたburstingのピークの発生時刻を示している。中心及び側方では発生周期の違いが明らかであり、中心1回に対して側方では1~2回burstが発生していることが判る。

## 2. 河床波上のburstingの模式化

以上の結果から次のようないくつかのモデル化を行なう。

- 1) 一般的な砂堆に対し図-9のようなく $\tan \theta = \beta$ なる形状を仮定する。crest直下流に形成される剝離域によると再付着点によじんだ低速流体が図のようにならす。
- 2) crest付近からは急な速度勾配のために渦管が成る周期で発生し剝離域の外縁を通って再付着点へ向う。この渦管は染料による観測結果から直管とする。
- 3) この渦管は先ず側方に分布してこの低速流体を刺激し、その一部又は大部分を捲上げるが、渦管からの距離が大きいため強度は比較的小さい。
- 4) 渦管が再付着点に到達したとき、中央付近を中心として最も強度の大きいburstが発生する。この際、側方でも流体の捲上げが行われますが、3)の階段で捲上げられた低速流体の量に關係があり、必ずしも規則的とはならぬ。

河床波上では以上の状態が繰返し行われ、殆んど一定した位置から大規模で周期的なburstが発生する。

本研究には文部省科草研究費(一般C)の援助を受けたことを記し謝意を表す。

## 参考文献

- 1) 板倉・岸; 第34回年講, II-149, 1979.
- 2) 板倉・森・岸; 第35回年講, II-162, 1980.
- 3) T. Itakura and T. Kishi; 3rd Int. Symp. on Stochastic Hydraulics, D-3 Appendix, 1980.

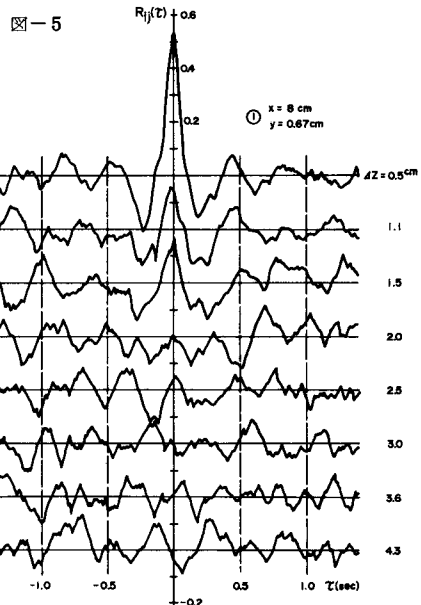


図-5

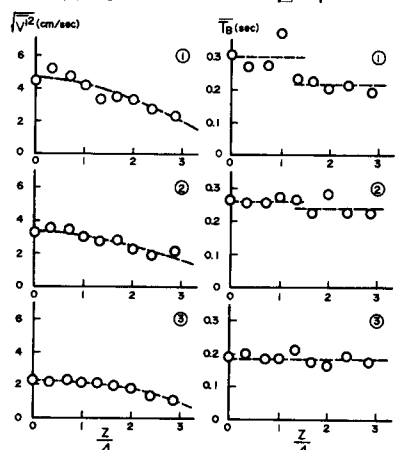


図-6

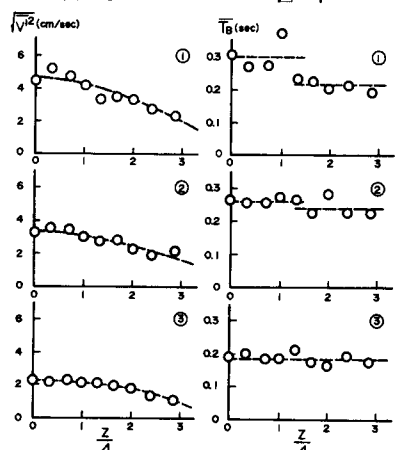


図-7

図-8

